

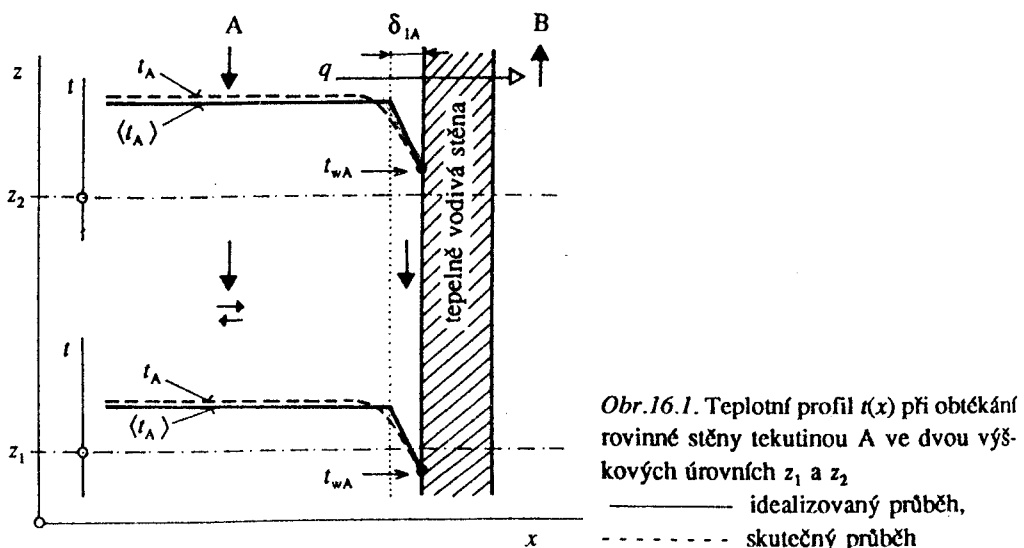
# 16 Sdílení tepla prouděním

**Hlavní cíle kapitoly:** Podrobněji se seznámit s Newtonovým ochlazovacím zákonem, tj. s definicí součinitele přestupu tepla, dále s teplotním profilem a s bilancí entalpie v proudící tekutině, s přestupem tepla při volném a nuceném proudění bez fázové přeměny, při kondenzaci páry a při varu kapaliny, s některými kriteriálními rovnicemi pro výpočet součinitele přestupu tepla, s řádovými hodnotami součinitele přestupu tepla v různých případech a s přístupem k výpočtu součinitele přestupu tepla.

**Požadované znalosti:** Mechanismy sdílení tepla, principy sdílení tepla prouděním, laminární a turbulentní proudění tekutiny, laminární podvrstva, objemové změny při vypařování kapaliny a při kondenzaci páry, bilance entalpie a kinetika procesu vyjádřená pomocí hybné sily děje.

## 16.1 Součinitel přestupu tepla

Sdílení tepla mezi povrchem stěny a okolní tekutinou označujeme jako *přestup tepla* (ze stěny do tekutiny nebo z tekutiny do stěny). Přitom obvykle dochází ke sdílení tepla současně prouděním a vedením (v jádru tekutiny) a pouze vedením (u stěny). Principy sdílení tepla prouděním (konvekcí), na které nyní navazujeme, jsou vyloženy v odd. 15.1.2.



Obr.16.1. Teplotní profil  $t(x)$  při obtékání rovinné stěny tekutinou A ve dvou výškových úrovních  $z_1$  a  $z_2$   
— idealizovaný průběh,  
- - - skutečný průběh

Obr.16.1 ukazuje rozdělení teplot (teplotní profil) kolmo k rovinné tepelně vodivé

stěně obtékané tekutinou A. Předpokládáme sdílení tepla mezi vnějším povrchem stěny a okolím, které tvoří tekutina B. V příkladu na obr. 16.1 uvažujeme sdílení tepla od tekutiny A ke stěně. Získané závěry platí ovšem i pro opačný směr sdílení tepla. V obrázku je naznačena tepelně vodivá stěna obtékaná tekutinou B. Teplotní profil je však zakreslen jen v prostoru vyplněném tekutinou A.

Z obr. 16.1 vidíme, že v jádru tekutiny A je vlivem značného příčného promichávání teplotní profil velice plochý. Jelikož laminární vrstvička u stěny má relativně malou tloušťku  $\delta_{IA}$  (rádově  $10^{-3}$  m), je teplota v jádru tekutiny blízká její střední teplotě  $\langle t_A \rangle$ . Střední teplota je definována jako zprůměrněná pomocí hmotnostního toku tekutiny, který označíme  $\dot{m}_A$  (místní teplota tekutiny v místě vyššího hmotnostního toku se ve střední hodnotě uplatňuje úměrně vyšší vahou)

$$\langle t_A \rangle = \frac{1}{\dot{m}_A} \int_{S_A} t_A v_A \rho_A dS_A \quad (16-1)$$

kde  $t_A$  je místní teplota,  $v_A$  - místní rychlosť,  $\rho_A$  - místní hustota,  $S_A$  - průtočný průřez,  $\dot{m}_A$  - celkový hmotnostní tok tekutiny A. Pro tekutinu B platí obdobu rov. (16-1).

Přestup tepla mezi tekutinou a stěnou je možno popsat analyticky \*) nebo empiricky. K empirickému popisu se zpravidla používá tzv. *empirický Newtonův ochlazovací zákon*, kterým je definován součinitel přestupu tepla  $\alpha$ , který platí i pro ohřívání. Součinitel přestupu tepla představuje součinitel úměrnosti v rov. (15-3):

$$d\dot{Q} = \alpha_A | \langle t_A \rangle - t_{wA} | dA \quad (16-2)$$

kde jednotlivé symboly jsou:  $t_{wA}$  - teplota povrchu stěny na straně tekutiny A,  $dA$  - element povrchu stěny,  $d\dot{Q}$  - tepelný tok tímto elementem povrchu stěny,  $\alpha_A$  - součinitel přestupu tepla na straně tekutiny A. Z rov. (16-2) vyplývá rozměr a jednotka součinitele  $\alpha$  v SI soustavě:

$$[\alpha] = P L^{-2} \Theta^{-1} \equiv M T^{-3} \Theta^{-1} \quad [\alpha] = W m^{-2} K^{-1} \equiv kg s^{-3} K^{-1}$$

kde P je rozměr příkonu.

Rov. (16-2) můžeme ještě zjednodušit pomocí intenzity toku tepla  $q$ , definované rov. (15-11). Dostaneme

$$q = \alpha_A | \langle t_A \rangle - t_{wA} | \quad (16-3)$$

Z tohoto zápisu je dobře patrná analogie s Ohmovým zákonem [viz rov. (1-4) v odd. 1.6].

Podle obr. 16.1 musí v ustáleném stavu platit:

\*) Analytický popis přestupu tepla představuje integrál diferenciální Fourierovy-Kirchhoffovy rovnice, jejíž odvození je v příloze A10.

$$\alpha_A (\langle t_A \rangle - t_{wA}) = \lambda_A \frac{\langle t_A \rangle - t_{wA}}{\delta_{IA}} \quad (16-4)$$

kde  $\lambda_A$  je tepelná vodivost tekutiny A při aritmetické střední teplotě  $t_{as} \equiv 0,5 (\langle t_A \rangle + t_{wA})$ . Rov. (16-4) vyjadřuje, že při ustáleném stavu je intenzita tepelného toku vlivem přestupu tepla z tekutiny A na stěnu rovna intenzitě tepelného toku vedením napříč laminární podvrstvou o tloušťce  $\delta_{IA}$ .

I když Newtonův ochlazovací zákon je vyjádřen jednoduchým vztahem (obdobně jako Fourierův zákon), jde o velmi složitý problém. Na rozdíl od hodnoty  $\lambda$  není  $\alpha$  materiálovou konstantou, ale složitou funkcí mnoha dalších veličin. Hodnota součinitele přestupu tepla závisí především na způsobu realizace proudění tekutiny, který určuje nejen intenzitu složky pohybu tekutiny kolmo na teplosměnnou plochu, ale i tloušťku laminární podvrstvy, do níž je soustředěn odpor proti sdílení tepla přestupem. Jak jsme již ukázali v kap. 15, liší se charakter pohybu tekutiny při volném nebo nuceném proudění a při laminárním nebo turbulentním proudění. Jiný pohyb bude mít ovšem tekutina podél zakřiveného nebo tvarovaného povrchu či v prostoru s příčnými vestavbami (zebra, přepážky). Jiné proudění nastane v nádobě s rotujícím míchadlem. Značný vliv na součinitel přestupu tepla má přítomnost další fáze (emulze, suspenze, kapalina s plynnými bublinami), dochází-li k fázové přeměně (kondenzace páry, var kapaliny apod.).

Proto existuje značné množství většinou čistě empirických vztahů k výpočtu součinitele přestupu tepla pro jednotlivé případy. Protože by však rozměrové vztahy byly příliš složité, jsou zaváděny bezrozměrové veličiny. Tím se sníží počet proměnných, jak ukazuje kap. 6. Tyto vztahy obsahují bezrozměrová kritéria podobnosti, a nazývají se proto *kriteriální rovnice*. Nyní uvedeme nejdůležitější kritéria podobnosti, která se uplatňují při popisu sdílení tepla prouděním.

## 16.2 Kritéria podobnosti uplatňovaná při popisu sdílení tepla prouděním

S některými kritérii podobnosti, která se uplatňují při popisu sdílení tepla prouděním, jsme se již setkali: v kap. 6 (str. 145) je uveden příklad 2 na odvození kritérií podobnosti pro případ sdílení tepla v proudící tekutině.

Odvození vychází ze dvou rovnic. První je jednosměrná *Fourierova-Kirchhoffova rovnice* odvozená v příloze A10 a charakterizující rozdělení teplot v proudící tekutině, dochází-li k přestupu tepla. Druhou rovnicí je *okrajová podmínka*, která je svým významem shodná s rov. (16-4).

Doporučujeme seznámit se s tímto odvozením v kap. 6, nebot' zde uvádíme pouze získané výsledky:

Součinitel přestupu tepla  $\alpha$  je obsažen v *Nusseltově kritériu*:

$$Nu \equiv \frac{\alpha l}{\lambda} \quad (16-5)$$

kde  $l$  je charakteristická délka (ekvivalentní průměr trubky, tloušťka filmu, průměr obtékané koule ap.) a  $\lambda$  - tepelná vodivost tekutiny. Soubor proměnných, na kterých závisí hodnota  $Nu$ , se ovšem liší podle toho, jak je realizováno proudění tekutiny (tj. jaký je konkrétní mechanismus konvekčního sdílení tepla).

Dalším kritériem odvozeným v kap. 6 je *Fourierovo kritérium*:

$$Fo \equiv \frac{l^2}{a \tau} \quad (16-6)$$

kde  $a$  je teplotní vodivost a  $\tau$  - čas od zahájení procesu sdílení tepla prouděním. Fourierovo kritérium se uplatňuje při popisu neustáleného sdílení tepla, jelikož obsahuje čas  $\tau$ .

Konečně poslední kritérium odvozené v kap. 6 (příklad 2) je *Pécletovo kritérium*:

$$Pe \equiv \frac{v l}{a} \quad (16-7)$$

kde  $v$  je charakteristická rychlosť proudění tekutiny. Při proudění tekutiny v trubkách se zpravidla za charakteristickou rychlosť  $v$  dosazuje střední rychlosť tekutiny v průtočném průřezu a za charakteristický délkový rozměr  $l$  průměr  $d$  nebo ekvivalentní průměr trubky  $d_{ek}$ .

V kap. 6 je uvedena důležitá poznámka, že uvedená kritéria, která charakterizují vlastní sdílení tepla prouděním, je třeba rozšířit o kritéria hydrodynamická, charakterizující proudění tekutiny. Tato kritéria jsou odvozena opět v kap. 6 (str.143) v příkladu 1.

Kromě jiného je zde uvedeno *kritérium Reynoldsovo*:

$$Re \equiv \frac{v l}{\nu} \quad (16-8)$$

Vidíme, že rychlosť proudící tekutiny  $v$  je obsažena jak v Pécletově, tak i v Reynoldsově kritériu. Proto mnozí autoři kombinují obě kritéria, a získávají tak *Prandtlovo kritérium*:

$$Pr \equiv Pe / Re = \frac{v l / a}{v l / \nu} = v / a \quad (16-9)$$

Prandtlovo kritérium tedy zahrnuje vlastnosti tekutiny, které jsou důležité při molekulárním sdílení hybnosti a tepla. Dosadíme-li do rov. (16-9) za kinematickou viskozitu  $\nu = \eta / \rho$  a za teplotní vodivost  $a = \lambda / (\rho c_p)$ , dostaneme často používané vyjádření

$$Pr = c_p \eta / \lambda$$

(16-9a)

Připomeňme opět, že všechny veličiny v této rovnici představují vlastnosti tekutiny.

Autoři používající Prandtlovo kritérium v rovnicích popisujících sdílení tepla prouděním uplatňují buď Reynoldsovo (častější případ), nebo Pécletovo kritérium.

Uplatnění Pécletova nebo Reynoldsova kritéria při sdílení tepla prouděním je vhodné jen v těch případech, kdy je známa charakteristická rychlosť  $v$ , což je při *nuceném proudění*.

V jiných případech dochází k *cirkulaci* tekutiny uvnitř zařízení a určení charakteristické rychlosti činí potíže. S touto situací jsme se již setkali při vsádkovém míchání kapalin rotačními míchadly, kdy střední rychlosť v libovolném průřezu nádoby (kolmo na její osu) je rovna nule. Problém jsme vyřešili tím, že jsme zvolili jako charakteristickou rychlosť součin frekvence otáčení  $n$  a průměru míchadla  $d$ , což je veličina úměrná obvodové rychlosti míchadla. Takto *modifikovaná* kritéria se uplatňují i při popisu sdílení tepla při míchání.

Při *volném proudění*, které je vyvoláno rozdílem hustot tekutiny u teplosměnné plochy a v jádru tekutiny (vlivem rozdílných teplot - viz odd. 15.1.2), je střední rychlosť tekutiny také rovna nule. Probíhá cirkulace tekutiny, na jejíž intenzitě je v tomto případu závislý přenos tepla prouděním.

Intenzitu volné cirkulace tekutiny vyjádříme nepřímo pomocí těch veličin, které jsou pro cirkulaci rozhodující. Především se zde uplatňuje rozdíl teplot  $\Delta t \equiv \langle t \rangle - t_w$  mezi jádrem tekutiny a povrchem teplosměnné plochy. Tento rozdíl teplot vyvolá rozdíl hustot tekutiny  $\Delta \rho \equiv \rho_w - \rho$  u teplosměnné plochy a v jádru tekutiny. Souvislost mezi oběma veličinami lze vyjádřit pomocí koeficientu teplotní objemové roztažnosti. Tento koeficient je definován vzorcem

$$\beta \equiv \frac{1}{V} \frac{dV}{dt} = - \frac{1}{\rho} \frac{d\rho}{dt} \quad (16-10)$$

kde  $V$  značí objem. Při malých změnách lze přibližně psát

$$\beta \doteq \frac{1}{\rho} \frac{\Delta \rho}{\Delta t} \quad (16-10a)$$

tj.

$$\beta \Delta t = \frac{\Delta \rho}{\rho} \quad (16-10b)$$

Rozměr a jednotka koeficientu  $\beta$  jsou:

$$[\beta] = \Theta^{-1} \quad [\beta] = K^{-1} \quad (16-10c)$$

Na pohyb tekutiny vyvolaný rozdílem hustot se můžeme dívat jako na sedimentaci oblasti tekutiny s vyšší hustotou v tekutině o menší hustotě. K vystižení tohoto jevu slouží Archimedovo kritérium (viz kap. 10). V poli gravitačního zrychlení platí

$$Ar = \frac{g l^3 \Delta \rho}{v^2 \rho} \quad (16-11)$$

kde  $l$  je charakteristický lineární rozměr systému a  $v$  - kinematická viskozita tekutiny. Dosazením do rov. (16-11) za  $\Delta \rho / \rho$  z rov. (16-10b) dostaneme *Grashofovo kritérium*, které se užívá k vyjádření intenzity cirkulace vlivem rozdílu teplot při volném proudění tekutiny:

$$Gr \equiv \frac{g l^3}{v^2} \beta \Delta t \quad (16-12)$$

Definice charakteristické délky  $l$  plyne z další představy o cirkulaci tekutiny vlivem rozdílu hustot. Tato představa (vede ke stejným závěrům jako představa o sedimentaci) je založena na tom, že cirkulační pohyb je vyvolán rozdílem hydrostatických tlaků ( $h \Delta \rho g$ ) u dna nádoby, kde  $h$  je výška sloupce tekutiny.

Za charakteristickou délku  $l$  je tedy třeba do Grashofova kritéria volit výšku té části teplosměnné plochy, která je ve styku s tekutinou. Např. u stojatého válce je to jeho délka, u ležatého jeho průměr.

## 16.3 Popis různých případů přestupu tepla

V této části uvádíme jen nejběžnější případy přestupu tepla, a to přestup tepla při volném a nuceném proudění jednofázové tekutiny, přestup tepla při kondenzaci páry a při varu kapaliny. Další případy a podrobnosti uvádí *Příklady a specializovaná literatura*.

### 16.3.1 Přestup tepla při volném proudění bez fázové přeměny

Přestup tepla při volném proudění se nazývá *volná konvekce*. Je-li volné proudění vyvoláno pouze rozdílem teplot a pokud je prostor, kde k němu dochází, relativně velký, pak je podle literatury [57] pro hodnotu Nusseltova kritéria rozhodující součin Grashofova a Prandtlova kritéria:

$$Nu = C (Gr Pr)^n \quad (16-13)$$

Konkrétní vyjádření rov. (16-13) je dán hodnotami konstanty  $C$  a exponentu  $n$ :

$Gr Pr$	$C$	$n$
$<10^{-3}$	0,5	0
$\langle 1.10^{-3}; 5.10^2 \rangle$	1,18	1/8
$\langle 5.10^2; 2.10^7 \rangle$	0,54	1/4
$\langle 2.10^7; 1.10^{13} \rangle$	0,135	1/3

Z tabulky je vidět, že při zvlášť nízkých hodnotách  $Gr Pr$  platí  $n = 0$  a hodnota  $Nu$  je konstantní:

$$Nu = 0,5 \quad [Gr Pr < 10^{-3}] \quad (16-14)$$

### 16.3.2 Přestup tepla při nuceném proudění bez fázové přeměny

Podstatně vyšší intenzity přestupu tepla než při volném proudění lze docílit nuceným prouděním. Zde se omezíme na nucené proudění homogenní tekutiny v trubce, tj. bez fázové přeměny. Připomeňme si, že trubka může mít průřez různého tvaru. Např. při podélném proudění v prostoru mezi dvěma souosými trubkami různého průměru má průtočný průřez tvar mezikruží. Za průměr průtočného průřezu dosazujeme ekvivalentní průměr  $d_{ek}$  podle vzorce (5-10).

Charakter nuceného proudění je obvykle vyjadřován Reynoldsovým kritériem  $Re$  definovaným rov. (16-8), kde  $l = d_{ek}$  a kde  $v$  je střední rychlosť v průtočném průřezu. Někteří autoři empirických rovnic pro výpočet  $Nu$  používají místo  $Re$  Péclétova kritéria  $Pe$ , definovaného rov. (16-7), kde veličiny  $l$  a  $v$  jsou definovány stejně jako v Reynoldsově kritériu. Z rov. (16-9) je zřejmé, že platí identicky

$$Pe \equiv Re \cdot Pr \quad (16-9a)$$

Při pomalém nuceném proudění, tj. při laminárním režimu, se může na nucené proudění ještě superponovat významnou měrou volné proudění, které se popisuje kritériem  $Gr$  (když  $Re < 2\,300$  a  $Gr Pr > 5 \cdot 10^5$ ). Tuto situaci ilustruje obr. 15.1B.

V literatuře jsou publikovány kriteriální rovnice pro výpočet  $Nu$  při nuceném proudění v ustáleném stavu, obvykle typu

$$Nu = f(Re, Gr, \Gamma_1, \Gamma_2, \dots) \quad (16-15)$$

nebo

$$Nu = f(Re, Gr, Pr, \Gamma_1, \Gamma_2, \dots) \quad (16-15a)$$

Veličiny  $\Gamma_1, \Gamma_2, \dots$  představují bezrozměrové simplexy (viz kap. 6), tj. poměry veličin téhož druhu, např.  $d / L$  a  $Pr / Pr_w$ , resp.  $\eta / \eta_w$ , kde  $d$  a  $L$  jsou průměr a délka trubky,  $Pr$  a  $Pr_w$  - Prandtlovo kritérium pro teplotu v jádru tekutiny a u stěny, resp.  $\eta$  a  $\eta_w$  - dynamická viskozita tekutiny v jádru a u stěny.

Vliv poměru  $Pr / Pr_w$  nebo  $\eta / \eta_w$  byl zjištěn podrobnějším šetřením v případě velkých změn viskozity tekutiny v jádru tekutiny a u stěny, tj. při velkých rozdílech teploty v jádru a u stěny. Hlavní odpor proti přestupu tepla je soustředěn do laminární podvrstvy, která má při chlazení vyšší viskozitu než jádro tekutiny. Při ohřívání je tomu naopak. Proto je součinitel přestupu tepla při chlazení za jinak stejných podmínek poněkud nižší než při ohřívání (viz dále).

Pokud  $Re > 2\,300$  nebo  $Gr\,Pr < 5\cdot 10^5$ , neuplatňuje se významně vliv volné konvekce na přestup tepla a kritérium  $Gr$  není ve vztazích obsaženo.

Nejjednodušší rovnice pro přestup tepla nucenou konvekcí byly získány při *intenzívním turbulentním proudění v trubce*, tj. při  $Re \geq 10^4$ , a se stabilizovaným rychlostním profilem ( $L / d \geq 50$ ). Příkladem takového vztahu je *Dittusova-Boelterova rovnice*:

$$Nu = 0,023 Re^{0,8} Pr^{0,4} \quad [Re \geq 10^4] \quad (16-16)$$

Konkrétní tvary vztahů (16-15), resp. (16-15a) a další podrobnosti o výpočtu součinitele přestupu tepla při nuceném proudění jsou uvedeny v *Příkladech* a v literatuře [8].

Příkladem vztahu, který platí při *laminárním proudění* ( $Re \leq 2,3\cdot 10^3$ ) a při stabilizovaném rychlostním profilu, je rovnice (viz lit. [8]):

$$Nu = 0,17 Re^{0,33} Pr^{0,43} Gr^{0,10} (Pr / Pr_w)^{0,25} \quad (16-17)$$

Uvedeme si další příklad vztahu, který platí současně v turbulentní i přechodné oblasti ( $2,3\cdot 10^3 \leq Re \leq 2\cdot 10^6$ ) a není omezen jen na stabilizovaný rychlostní profil ( $L / d \geq 1$ ). Jde o *Hansenův vztah* uvedený v *Příkladech*:

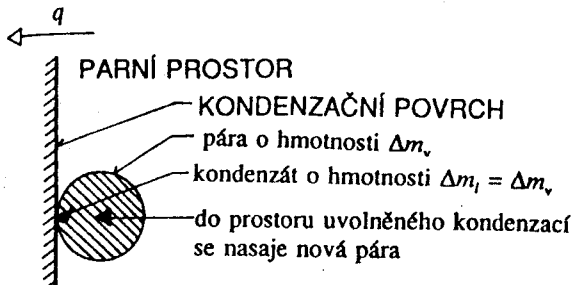
$$Nu = 0,116 (Re^{2/3} - 125) Pr^{1/3} [1 + (d / L)^{2/3}] (\eta / \eta_w)^{0,14} \quad (16-18)$$

### 16.3.3 Přestup tepla při kondenzaci páry

Styk páry se stěnou o teplotě nižší, než je kondenzační teplota při daném tlaku, vede k postupné fázové přeměně páry na kapalinu, tj. na kondenzát, a k odvodu tepla uvolněného kondenzací chladicí stěnou.

Obr. 16.2 vysvětluje, jak vzniká intenzívní pohyb páry, která je ve styku s kondenzačním povrchem. Na obrázku je vyznačen úsek kondenzačního povrchu, na němž dochází ke kondenzaci páry. Zkondenzuje-li oblast páry o hmotnosti  $\Delta m_v$  a objemu  $\Delta V_v$ , poskytne kondenzát o téže hmotnosti  $\Delta m_l = \Delta m_v$ , ale o podstatně menším objemu  $\Delta V_l$ , jak je naznačeno v obr. 16.2. Snadno ukážeme, že poměr  $\Delta V_l / \Delta V_v$  je např. pro vodu rádu  $10^{-3}$ . To představuje snížení objemu kondenzací na přibližně 0,001 původního objemu páry. Toto snížení objemu vyvolá intenzívní pohyb páry z přilehlého prostoru ke kondenzační ploše.

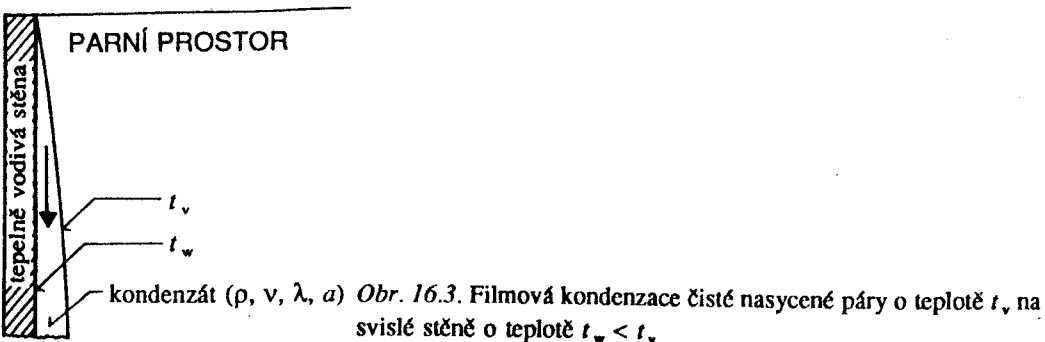
Mechanismus průběhu kondenzace, a tím i přestupu tepla z páry na chladicí stěnu, může mít případ od případu různý charakter. Nejčastěji přichází v úvahu kondenzace čisté nasycené páry. Kromě toho může být pára přehřátá a může obsahovat jistý podíl nekondenzujících plynů (inert). Stěna, na které dochází ke kondenzaci, může být pro kondenzát smáčivá, nebo nesmáčivá. V případě smáčivé stěny tvoří kondenzát na stěně film a kondenzace se pak nazývá *filmová*, což je nejlépe popsaný děj. V opačném případě vytváří kondenzát na stěně kapky, a kondenzace se proto nazývá *kapková*. Probereme si nyní stručně jednotlivé varianty.



Obr. 16.2. Vysvětlení pohybu páry směrem ke kondenzačnímu povrchu

### 16.3.3.1 Filmová kondenzace čisté nasycené páry na svislé stěně

Popis přestupu tepla při *filmové kondenzaci* nasycené páry na svislé stěně byl teoreticky zvládnut Nusselem, který odvodil vztah pro podmítku laminárního proudění kondenzátu po stěně. V tomto případě *pára kondenuje na povrchu filmu*. Hlavní odpor proti sdílení tepla je soustředěn do laminárního filmu stékajícího kondenzátu, kterým se sdílí teplo uvolněné kondenzací ke stěně pouze vedením, tj. molekulárním mechanismem. Tloušťka filmu od shora dolů postupně roste, a tím se mění i místní hodnota součinitele přestupu tepla (klesá). Situace je znázorněna na obr. 16.3.



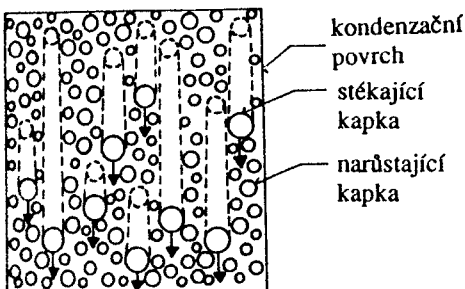
*Střední hodnotu součinitelů přestupu tepla* na výškovém úseku  $l$  kondenzačního povrchu lze určit z rovnice (viz např. [8]):

$$\alpha = C \left[ \frac{\lambda^3 \rho^2 g \Delta h_{l \rightarrow g}}{l \eta (t_v - t_w)} \right]^{1/4} \quad (16-19)$$

kde pro svislé trubky  $C = 1,25$  ( $l$  je délka trubek), pro vodorovné trubky  $C = 0,725$  ( $l$  je průměr trubek);  $\lambda$ ,  $\rho$ ,  $\eta$  jsou fyzikální vlastnosti kondenzátu,  $t_v$  - teplota páry a  $t_w$  - teplota kondenzační stěny,  $\Delta h_{l \rightarrow g}$  - měrná výparná entalpie. Podrobnější informaci uvádí např. *Příklady*.

### 16.3.3.2 Kapková kondenzace nasycené páry na svislé stěně

Kondenuje-li pára na svislé stěně, která je nesmáčivá pro kondenzát, netvoří se souvislý film, ale kapky na kondenzačním povrchu. Doroste-li kapka kondenzátu na dostatečnou velikost, steče vlivem gravitace a přitom se spojí s dalšími kapkami. Tím se uvolní kondenzační povrch pro další kondenzaci. Je zřejmé, že v každém okamžiku pokrývají kapky jen část kondenzačního povrchu. Tuto situaci ilustruje obr. 16.4. Proto je při kapkové kondenzaci odpor proti přestupu tepla nižší než při kondenzaci filmové. Tomu odpovídá vyšší součinitel přestupu tepla. Proto se někdy záměrně upravují kondenzační povrchy, aby byly pro kondenzát nesmáčivé.



Obr. 16.4. Kapková kondenzace čisté nasycené páry na svislé stěně

Použijeme-li součinitel přestupu tepla vypočtený podle rov. (16-19) pro stanovení toku tepla  $\dot{Q}$  při kapkové kondenzaci, dostáváme dolní, tj. spolehlivý odhad.

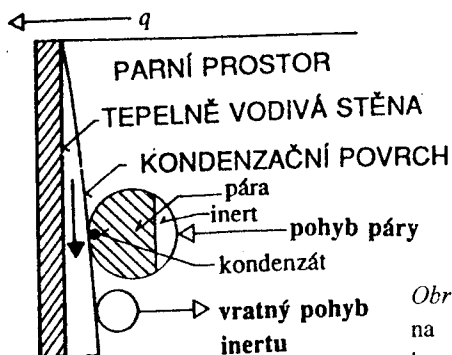
### 16.3.3.3 Kondenzace přehřáté páry

Pro výpočty přestupu tepla při kondenzaci přehřáté páry se často doporučuje postup výpočtu vycházející z předpokladu, že na části povrchu dochází k ochlazení přehřáté páry až na teplotu nasycené páry při daném tlaku (bez kondenzace) a že na zbývající části povrchu probíhá kondenzace nasycené páry. V úseku teplosměnné plochy, kde podle předpokladu nedochází ke kondenzaci, se hodnota součinitele přestupu tepla  $\alpha$  počítá jako při nuceném přestupu z plynu na stěnu a ve zbývající části jako při kondenzaci nasycené páry. Ve skutečnosti dochází i v úseku přehřáté páry ke kondenzaci. Skutečné hodnoty  $\alpha$  jsou proto vyšší než vypočtené. Doporučený postup výpočtu dává spolehlivý odhad součinitele přestupu tepla.

### 16.3.3.4 Kondenzace páry smíšené s inertem

Obsahuje-li pára nekondenzující plyny, je objemová změna při kondenzaci (viz kap. 15 a obr. 16.2) takto znečištěné páry nižší než u čisté páry. Tím se sníží intenzita proudění páry ke kondenzačnímu povrchu. Při kondenzaci páry smíšené s inertem dojde navíc ke zvýšení koncentrace inertu u kondenzačního povrchu, což vyvolává difuzní proudění inertu od kondenzačního povrchu proti pohybu páry. Zvýšená koncentrace inertu zhoršuje styk páry s kondenzačním povrchem a opačný směr proudění inertu brzdí přítok páry ke kondenzační ploše. Všechny uvedené vlivy způsobují, že přítomnost inertu v páře snižuje součinitel

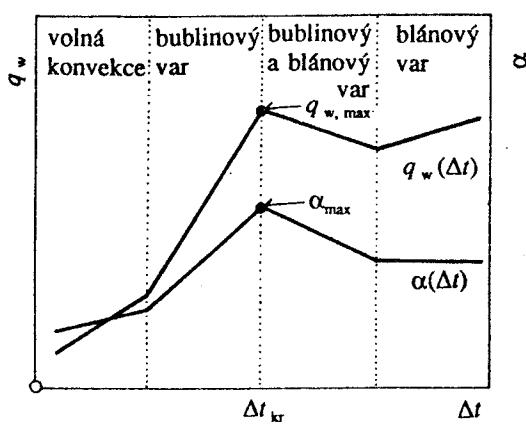
přestupu tepla (obr. 16.5). Je samozřejmě, že se musí zabránit hromadění inertu v parním prostoru jeho vypouštěním (tzv. odvzdušňováním).



Obr. 16.5. Ilustrace vlivu inertu ve směsi s kondenzující párou na její pohyb ke kondenzačnímu povrchu při filmové kondenzaci

#### 16.3.4 Přestup tepla při varu kapaliny

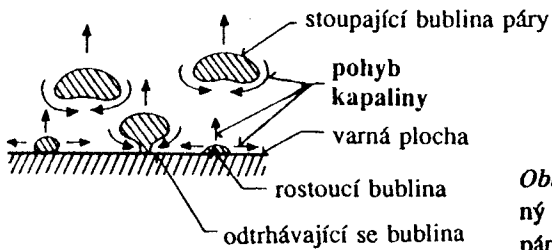
Přestup tepla při varu kapaliny je dosti složitý děj. Součinitel přestupu tepla  $\alpha$  v tomto případě závisí na rozdílu teplot  $\Delta t$  mezi teplosměnnou (varnou) plochou a vroucí kapalinou (obr. 16.6).



Obr. 16.6. Závislost součinitele přestupu tepla  $\alpha$  a intenzity přestupu tepla  $q_w$  při varu na rozdílu teplot varného povrchu a vroucí kapaliny  $\Delta t$  ve dvojitých logaritmických souřadnicích

Při nízkých hodnotách  $\Delta t$  se bubliny netvoří. Probíhá povrchové odpařování a o hodnotě  $\alpha$  rozhoduje *volná konvekce*. Od jisté hodnoty  $\Delta t$  se začnou vytvářet bubliny přímo na varném povrchu. Nastává *bublinový var*. Přechod kapalné fáze na parní je provázen

značnou objemovou změnou, která vyvolává intenzívní pohyb u plochy tepelné výměny.\* ) Původně laminární vrstvička u stěny se silně turbulizuje. Stoupání bublin kapalinou rovněž vyvolává pohyb kapaliny. Oba jevy mají vliv na výrazný vzrušit součinitele přestupu tepla. Situaci při bublinovém varu ilustruje obr. 16.7.



Obr. 16.7. Intenzívni pohyb kapaliny způsobený tvorbou bublin páry u varné plochy a stoupáním bublin

Při nízkých hodnotách  $\Delta t$  roste stále počet bublin na varné ploše. Od hodnoty  $\Delta t_{kr}$  dochází ke spojování bublin do formy parní blány, která odděluje varný povrch od vroucí kapaliny (začátek blánového varu). To snižuje součinitel přestupu tepla. Jakmile je celý varný povrch pokryt blánou páry, součinitel přestupu tepla již zůstává prakticky konstantní. Tento popis vysvětuje průběh funkce  $\alpha = f(\Delta t)$  na obr. 16.6.

Na obr. 16.6 je zakreslen ještě průběh intenzity přestupu tepla  $q_w$ , který vyplývá z rovnice

$$q_w = \alpha \Delta t$$

V praxi lze doporučit hodnoty  $\Delta t$  blízko  $\Delta t_{kr}$ , což zajišťuje maximální přestup tepla při varu kapaliny.

Hodnotu součinitele přestupu tepla je možno odhadnout z rovnice typu

$$\alpha = K q_w^r p^z \quad (16-20)$$

kde  $K$ ,  $r$ ,  $z$  jsou empirické konstanty charakteristické pro danou kapalinu, kvalitu varného povrchu apod. Veličina  $p$  je tlak v soustavě. Např. pro bublinový var vody je uváděn konkrétní tvar rov. (16-20):

$$\alpha = 2,4 q_w^{0,7} p^{0,4} \quad (16-20a)$$

Další podrobnosti lze nalézt v *Příkladech*.

\*) Tato objemová změna je opačného charakteru než při kondenzaci, kde jsme podali vysvětlení. Např. objem vodní páry je vůči kapalině, z které pára vznikla, rádově  $10^3$  krát větší. Tím dochází k vytlačování kapaliny párou a stoupající bubliny páry způsobují přesun kapaliny, tj. rovněž vyvolávají její pohyb.

## 16.4 Porovnání řádových hodnot součinitele přestupu tepla v různých případech

Pro lepší představu o hodnotách, jakých nabývá součinitel přestupu tepla, porovnejme některé typické případy. Uvažujme nejprve *nucené proudění* v trubkovém systému. Součinitel přestupu tepla, např. při turbulentním toku (viz Dittusovu-Boelterovu rovnici) je dán vzorcem

$$\alpha = 0,023 \frac{\lambda}{d} (v d / v)^{0,8} (v / a)^{0,4} \quad (16-16a)$$

Při zvolené geometrii ( $d = \text{konst}$ ) platí úměrnost

$$\alpha \sim \lambda v^{0,8} v^{-0,4} a^{-0,4} \quad (16-16b)$$

Porovnáme nyní přestup tepla kapalina – stěna a přestup plyn – stěna. Za typickou kapalinu zvolíme vodu, za plyn vzduch. Např. z tab. II-3 a III-1 v *Příkladech* vidíme, že voda má hodnotu  $\lambda$  téměř o 2 řády větší než vzduch, kinematickou viskozitu v o 1 až 2 řády menší a součinitel teplotní vodivosti  $a$  asi o 2 řády menší. Rychlosť kapalin v potrubí bývá obvykle o 1 až 2 řády nižší. Z rozboru plyne, že u plynů lze očekávat zhruba o 1 až 2 řády nižší hodnoty součinitele přestupu tepla  $\alpha$  než u kapalin.

Konkrétně lze uvést hodnoty součinitele přestupu tepla  $\alpha$  vypočtené z rov. (16-16a) jednak pro vodu ( $t = 20^\circ\text{C}$ ,  $d = 0,1 \text{ m}$ ,  $v = 0,5 \text{ m s}^{-1}$ ), jednak pro vzduch při normálním tlaku ( $t = 20^\circ\text{C}$ ,  $d = 0,1 \text{ m}$ ,  $v = 10 \text{ m s}^{-1}$ ):

voda:  $1\,720 \text{ W m}^{-2} \text{ K}^{-1}$

vzduch:  $37 \text{ W m}^{-2} \text{ K}^{-1}$

Voda má tedy (za uvedených podmínek) 46krát vyšší součinitel přestupu tepla než vzduch, což odpovídá výsledkům rozboru na základě rov. (16-16b).

Ke stejným závěrům bychom došli při posuzování *volné konvekce*. Obvykle je u přestupu tepla v plynech hodnota  $\alpha$  řádově v jednotkách až desítkách a u kapalin v desítkách až stovkách  $\text{W m}^{-2} \text{ K}^{-1}$ .

Při *bublinovém varu* kapaliny dochází k turbulizaci vrstvičky kapaliny u teplosměnné plochy, což zvyšuje hodnotu součinitele přestupu tepla řádově na  $10^3$ .

Nejintenzívnejší sdílení tepla je při *kondenzaci čisté páry*. Při poměrně nízkém odporu u stěny (tenká vrstva stékajícího kondenzátu) a vysoce intenzivním proudění páry ke stěně (vlivem objemové změny kondenzací) dosahuje součinitel  $\alpha$  při kondenzaci hodnot řádově  $10^4 \text{ W m}^{-2} \text{ K}^{-1}$ .

## 16.5 Přístup k výpočtu součinitele přestupu tepla

Abychom mohli uskutečnit výpočet součinitele přestupu tepla  $\alpha$ , musíme nejprve vybrat z mnoha různých rovnic pro výpočet Nusseltova kritéria  $Nu$  nebo součinitele přestupu tepla  $\alpha$  tu rovnici, která odpovídá našemu případu konvekce.

V první řadě rozhodneme, zda probíhá fázová přeměna. Když ne, rozhodneme, zda jde o volnou, nebo nucenou konvekci. Je-li konvekce volná, rozhoduje o konkrétním tvaru rovnice součin  $Gr Pr$ . Je-li konvekce nucená, rozhoduje hodnota  $Re$ . Při fázové přeměně záleží na tom, zda jde o var, či o kondenzaci.

Ve skutečnosti je mnoho dalších případů, pro které najdeme v literatuře další rovnice. Může však nastat i případ, pro který nebyl dosud nalezen vztah. Potom učiníme odhad součinitele přestupu tepla výpočtem z rovnice popisující blízký případ nebo sestavíme pokusnou aparaturu a součinitel  $\alpha$  naměříme.

Postup výpočtu součinitele přestupu tepla  $\alpha$  lze také nalézt v *Příkladech*.

### KONTROLNÍ ÚLOHY

- 16.1. Proč je pro technickou praxi často důležitější sdílení tepla napříč tekutinou než ve směru proudění tekutiny?
- 16.2. Proč se při laminárním proudění tekutiny uplatňuje v příčném směru mechanismus molekulárního sdílení tepla (vedením), a nikoliv konvekčního sdílení (proudění)?
- 16.4. Jak je volné proudění kapaliny (viz obr. 15.1A) ovlivněno vznikem *a)* bublin páry, *b)* krystalů o hustotě větší, než má kapalina v blízkosti svislé teplosměnné plochy? Jaký směr vůči teplosměnné ploše má tepelný tok a proč?
- 16.5. Proč je při turbulentním proudění v jádru tekutiny odpor proti sdílení tepla soustředěn do laminární vrstvy u teplosměnné plochy? Jak se mění tento odpor se změnou střední rychlosti v turbulentním jádru a proč?
- 16.6. Ukažte, že relativní objemová změna je při kondenzaci vodní páry řádově  $10^{-3}$  a při varu vody řádově  $10^3$ . Jakým vlivem působí tato objemová změna na přestup tepla? Zapište definici relativní objemové změny.
- 16.7. Co značí pojem teplotní profil? Kam se umísťuje počátek teplotní stupnice ( $t = 0$ ) pro zakreslení teplotního profilu?
- 16.8. Definujte hybnou sílu pro sdílení tepla mezi dvěma blízkými body  $P_1$  a  $P_2$  umístěnými ve směru tepelného toku  $\dot{Q}$  na vzdálenosti  $\Delta l$ . Může dojít ke změně *a)* znaménka hybné síly (a kdy), *b)* hodnoty hybné síly (a kdy), budeme-li body  $P_1$  a  $P_2$  posouvat ve směru tepelného toku  $\dot{Q}$  a bude-li děj ustálený?
- 16.9. Jaké je rozložení tepelného odporu ve směru tepelného toku (viz úlohu 16.8) v tekutině proudící podél stěny tepelné výměny a při ustáleném ději a jak tento tepelný odpor souvisí s teplotním profilem?
- 16.10. Ukažte, kterými zásahy lze zvýšit tepelný tok  $\dot{Q}$  při přestupu z tekutiny na teplosměnnou plochu, resp. obráceně.

- 16.12.** Proč se k charakterizaci proudění tekutiny při volné konvekci používá Grashofovo kritérium, a nikoliv Reynoldsovo kritérium jako při nucené konvekci? Proč se někdy (a kdy) používá při nucené konvekci k charakterizaci proudění vedle  $Re$  ještě  $Gr$ ?
- 16.13.** Vysvětlete fyzikální souvislost mezi Archimedovým kritériem používaným při sedimentaci a Grashofovým kritériem používaným při volném konvekčním přenosu tepla.
- 16.14.** Odhadněte změnu hodnoty součinitele přestupu tepla při nuceném turbulentním proudění trubkou, změní-li se za jinak stejných podmínek střední rychlosť proudění 4krát. Která další důležitá technická veličina se přitom změní a jak? Uveďte orientační čísla.
- 16.15.** Vysvětlete blíže turbulizaci původně laminární vrstvy u teplosměnného povrchu, jestliže dojde na tomto povrchu k varu kapaliny. Jak se tato turbulizace projeví při sdílení tepla?
- 16.16.** Odhadněte hodnotu součinitele přestupu tepla při volné konvekci, jestliže je tekutinou, v níž ke konvekci dochází, buď voda, nebo vzduch při normálním tlaku a jestliže  $\Delta t = 50\text{ }^{\circ}\text{C}$ .